
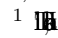


Holographic detection of parity in atomic and molecular orbitals



1, 2, *  

3 

1 

2 

1 

1



1 

1 

2 

1 

3

¹*Institut für Kernphysik, Goethe Universität Frankfurt, 60438 Frankfurt am Main, Germany*

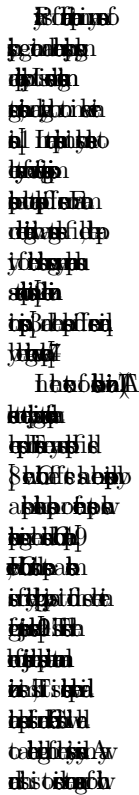
²*State Key Laboratory of Magnetic Resonance and Atomic and Molecular Physics,*

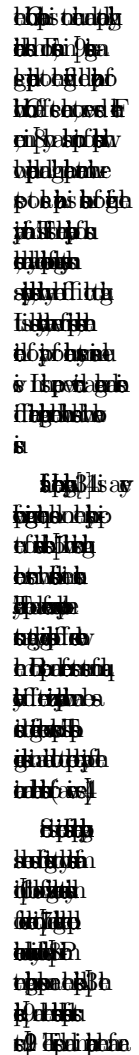
Wuhan Institute of Physics and Mathematics, Innovation Academy for Precision Measurement Science and Technology, Chinese Academy of Sciences, Wuhan 430071, China

³*Department of Physics and Astronomy, University College London, Gower Street, London WC1E 6BT, United Kingdom*

We introduce a novel and concise methodology to detect the parity of atomic and molecular orbitals based on photoelectron holography, which is more general than the existing schemes. It fully accounts for the Coulomb distortions of electron trajectories, does not require sculpted fields to retrieve phase information and, in principle, is applicable to a broad range of electron momenta. By comparatively measuring the differential photoelectron spectra from strong-field ionization of N₂ molecules and their companion atoms of Ar, some photoelectron holography patterns are found to be dephased for both targets. This is well reproduced by the full-dimensional time-dependent Schrödinger equation and the Coulomb quantum-orbit strong-field approximation (CQSFA) simulation. Using the CQSFA, we trace back our observations to different parities of the 3*p* orbital of Ar and the highest-occupied molecular orbital of N₂ via interfering Coulomb-distorted quantum orbits carrying different initial phases. This method could in principle be used to extract bound-state phases from any holographic structure, with a wide range of potential applications in recollision physics and spectroscopy.

I. INTRODUCTION





* Present address: Institute of Optics and Quantum Electronics, Friedrich Schiller University Jena, Max-Wien-Platz 1 and Helmholtz Institut Jena, Frötbeltstieg 3, 07743 Jena, Germany; H.Kang@gsi.de

a) b) c) d) e) f) g) h) i) j) k) l) m) n) o) p) q) r) s) t) u) v) w) x) y) z) aa) ab) ac) ad) ae) af) ag) ah) ai) aj) ak) al) am) an) ao) ap) aq) ar) as) at) au) av) aw) ax) ay) az) ba) bb) bc) bd) be) bf) bg) bh) bi) bj) bk) bl) bm) bn) bo) bp) bq) br) bs) bt) bu) bv) bw) bx) by) bz) ca) cb) cc) cd) ce) cf) cg) ch) ci) cj) ck) cl) cm) cn) co) cp) cq) cr) cs) ct) cu) cv) cw) cx) cy) cz) da) db) dc) dd) de) df) dg) dh) di) dj) dk) dl) dm) dn) do) dp) dq) dr) ds) dt) du) dv) dw) dx) dy) dz) ea) eb) ec) ed) ee) ef) eg) eh) ei) ej) ek) el) em) en) eo) ep) eq) er) es) et) eu) ev) ew) ex) ey) ez) fa) fb) fc) fd) fe) ff) fg) fh) fi) fj) fk) fl) fm) fn) fo) fp) fq) fr) fs) ft) fu) fv) fw) fx) fy) fz) ga) gb) gc) gd) ge) gf) gg) gh) gi) gj) gk) gl) gm) gn) go) gp) gq) gr) gs) gt) gu) gv) gw) gx) gy) gz) ha) hb) hc) hd) he) hf) hg) hh) hi) hj) hk) hl) hm) hn) ho) hp) hq) hr) hs) ht) hu) hv) hw) hx) hy) hz) ia) ib) ic) id) ie) if) ig) ih) ii) ij) ik) il) im) in) io) ip) iq) ir) is) it) iu) iv) iw) ix) iy) iz) ja) jb) jc) jd) je) jf) jg) jh) ji) jj) jk) jl) jm) jn) jo) jp) jq) jr) js) jt) ju) jv) jw) jx) jy) jz) ka) kb) kc) kd) ke) kf) kg) kh) ki) kj) kk) kl) km) kn) ko) kp) kq) kr) ks) kt) ku) kv) kw) kx) ky) kz) la) lb) lc) ld) le) lf) lg) lh) li) lj) lk) ll) lm) ln) lo) lp) lq) lr) ls) lt) lu) lv) lw) lx) ly) lz) ma) mb) mc) md) me) mf) mg) mh) mi) mj) mk) ml) mm) mn) mo) mp) mq) mr) ms) mt) mu) mv) mw) mx) my) mz) na) nb) nc) nd) ne) nf) ng) nh) ni) nj) nk) nl) nm) nn) no) np) nq) nr) ns) nt) nu) nv) nw) nx) ny) nz) oa) ob) oc) od) oe) of) og) oh) oi) oj) ok) ol) om) on) oo) op) oq) or) os) ot) ou) ov) ow) ox) oy) oz) pa) pb) pc) pd) pe) pf) pg) ph) pi) pj) pk) pl) pm) pn) po) pp) pq) pr) ps) pt) pu) pv) pw) px) py) pz) qa) qb) qc) qd) qe) qf) qg) qh) qi) qj) qk) ql) qm) qn) qo) qp) qq) qr) qs) qt) qu) qv) qw) qx) qy) qz) ra) rb) rc) rd) re) rf) rg) rh) ri) rj) rk) rl) rm) rn) ro) rp) rq) rr) rs) rt) ru) rv) rw) rx) ry) rz) sa) sb) sc) sd) se) sf) sg) sh) si) sj) sk) sl) sm) sn) so) sp) sq) sr) ss) st) su) sv) sw) sx) sy) sz) ta) tb) tc) td) te) tf) tg) th) ti) tj) tk) tl) tm) tn) to) tp) tq) tr) ts) tt) tu) tv) tw) tx) ty) tz) ua) ub) uc) ud) ue) uf) ug) uh) ui) uj) uk) ul) um) un) uo) up) uq) ur) us) ut) uu) uv) uw) ux) uy) uz) va) vb) vc) vd) ve) vf) vg) vh) vi) vj) vk) vl) vm) vn) vo) vp) vq) vr) vs) vt) vu) vv) vw) vx) vy) vz) wa) wb) wc) wd) we) wf) wg) wh) wi) wj) wk) wl) wm) wn) wo) wp) wq) wr) ws) wt) wu) wv) ww) wx) wy) wz) xa) xb) xc) xd) xe) xf) xg) xh) xi) xj) xk) xl) xm) xn) xo) xp) xq) xr) xs) xt) xu) xv) xw) xx) xy) xz) ya) yb) yc) yd) ye) yf) yg) yh) yi) yj) yk) yl) ym) yn) yo) yp) yq) yr) ys) yt) yu) yv) yw) yx) yy) yz) za) zb) zc) zd) ze) zf) zg) zh) zi) zj) zk) zl) zm) zn) zo) zp) zq) zr) zs) zt) zu) zv) zw) zx) zy) zz)

II. STRATEGY AND EXPERIMENTAL SETUP

a) b) c) d) e) f) g) h) i) j) k) l) m) n) o) p) q) r) s) t) u) v) w) x) y) z) aa) ab) ac) ad) ae) af) ag) ah) ai) aj) ak) al) am) an) ao) ap) aq) ar) as) at) au) av) aw) ax) ay) az) ba) bb) bc) bd) be) bf) bg) bh) bi) bj) bk) bl) bm) bn) bo) bp) bq) br) bs) bt) bu) bv) bw) bx) by) bz) ca) cb) cc) cd) ce) cf) cg) ch) ci) cj) ck) cl) cm) cn) co) cp) cq) cr) cs) ct) cu) cv) cw) cx) cy) cz) da) db) dc) dd) de) df) dg) dh) di) dj) dk) dl) dm) dn) do) dp) dq) dr) ds) dt) du) dv) dw) dx) dy) dz) ea) eb) ec) ed) ee) ef) eg) eh) ei) ej) ek) el) em) en) eo) ep) eq) er) es) et) eu) ev) ew) ex) ey) ez) fa) fb) fc) fd) fe) ff) fg) fh) fi) fj) fk) fl) fm) fn) fo) fp) fq) fr) fs) ft) fu) fv) fw) fx) fy) fz) ga) gb) gc) gd) ge) gf) gg) gh) gi) gj) gk) gl) gm) gn) go) gp) gq) gr) gs) gt) gu) gv) gw) gx) gy) gz) ha) hb) hc) hd) he) hf) hg) hh) hi) hj) hk) hl) hm) hn) ho) hp) hq) hr) hs) ht) hu) hv) hw) hx) hy) hz) ia) ib) ic) id) ie) if) ig) ih) ii) ij) ik) il) im) in) io) ip) iq) ir) is) it) iu) iv) iw) ix) iy) iz) ja) jb) jc) jd) je) jf) jg) jh) ji) jj) jk) jl) jm) jn) jo) jp) jq) jr) js) jt) ju) jv) jw) jx) jy) jz) ka) kb) kc) kd) ke) kf) kg) kh) ki) kj) kk) kl) km) kn) ko) kp) kq) kr) ks) kt) ku) kv) kw) kx) ky) kz) la) lb) lc) ld) le) lf) lg) lh) li) lj) lk) ll) lm) ln) lo) lp) lq) lr) ls) lt) lu) lv) lw) lx) ly) lz) ma) mb) mc) md) me) mf) mg) mh) mi) mj) mk) ml) mm) mn) mo) mp) mq) mr) ms) mt) mu) mv) mw) mx) my) mz) na) nb) nc) nd) ne) nf) ng) nh) ni) nj) nk) nl) nm) nn) no) np) nq) nr) ns) nt) nu) nv) nw) nx) ny) nz) oa) ob) oc) od) oe) of) og) oh) oi) oj) ok) ol) om) on) oo) op) oq) or) os) ot) ou) ov) ow) ox) oy) oz) pa) pb) pc) pd) pe) pf) pg) ph) pi) pj) pk) pl) pm) pn) po) pp) pq) pr) ps) pt) pu) pv) pw) px) py) pz) qa) qb) qc) qd) qe) qf) qg) qh) qi) qj) qk) ql) qm) qn) qo) qp) qq) qr) qs) qt) qu) qv) qw) qx) qy) qz) ra) rb) rc) rd) re) rf) rg) rh) ri) rj) rk) rl) rm) rn) ro) rp) rq) rr) rs) rt) ru) rv) rw) rx) ry) rz) sa) sb) sc) sd) se) sf) sg) sh) si) sj) sk) sl) sm) sn) so) sp) sq) sr) ss) st) su) sv) sw) sx) sy) sz) ta) tb) tc) td) te) tf) tg) th) ti) tj) tk) tl) tm) tn) to) tp) tq) tr) ts) tt) tu) tv) tw) tx) ty) tz) ua) ub) uc) ud) ue) uf) ug) uh) ui) uj) uk) ul) um) un) uo) up) uq) ur) us) ut) uu) uv) uw) ux) uy) uz) va) vb) vc) vd) ve) vf) vg) vh) vi) vj) vk) vl) vm) vn) vo) vp) vq) vr) vs) vt) vu) vv) vw) vx) vy) vz) wa) wb) wc) wd) we) wf) wg) wh) wi) wj) wk) wl) wm) wn) wo) wp) wq) wr) ws) wt) wu) wv) ww) wx) wy) wz) xa) xb) xc) xd) xe) xf) xg) xh) xi) xj) xk) xl) xm) xn) xo) xp) xq) xr) xs) xt) xu) xv) xw) xx) xy) xz) ya) yb) yc) yd) ye) yf) yg) yh) yi) yj) yk) yl) ym) yn) yo) yp) yq) yr) ys) yt) yu) yv) yw) yx) yy) yz) za) zb) zc) zd) ze) zf) zg) zh) zi) zj) zk) zl) zm) zn) zo) zp) zq) zr) zs) zt) zu) zv) zw) zx) zy) zz)

TABLE I. Summary of the phase shifts expected for different types of orbits and initial bound states of different parity.

Structure	Orbits	Parity	Shift
Fan	I, II	even/odd	$0/\pi$
Spider	II, III	even/odd	$0/0$
Carpet	III, IV	even/odd	$0/\pi$

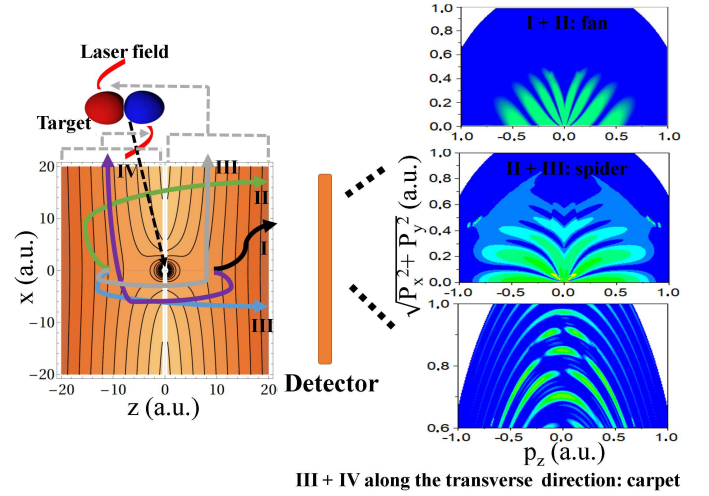


FIG. 1. Schematic representation of dominant trajectories (left hand side), classified from I to IV according to [10, 25], contributing to characteristic interference patterns in the final photoelectron momentum distributions (right hand side). The lower panel on the left side indicates the contour lines of laser-distorted potentials for an Ar atom at two adjacent laser field peaks. The laser peak intensity is chosen as 6.5×10^{13} W/cm² here. The interferences between types I and II (II and III) trajectories are responsible for the fan-shaped (spider-like) structures [26, 28, 29]. The carpet-like structures result from the interferences between type-III and type-IV trajectories along the transverse direction [12]. Within the CQSFA theory, trajectories that pass closer than the tunnel exit can be considered as soft or hard rescattering, where hard rescattering trajectories pass within the Bohr radius, while soft rescattering do not. Trajectories of type III and IV are always rescattering ones here [12].

a) b) c) d) e) f) g) h) i) j) k) l) m) n) o) p) q) r) s) t) u) v) w) x) y) z) aa) ab) ac) ad) ae) af) ag) ah) ai) aj) ak) al) am) an) ao) ap) aq) ar) as) at) au) av) aw) ax) ay) az) ba) bb) bc) bd) be) bf) bg) bh) bi) bj) bk) bl) bm) bn) bo) bp) bq) br) bs) bt) bu) bv) bw) bx) by) bz) ca) cb) cc) cd) ce) cf) cg) ch) ci) cj) ck) cl) cm) cn) co) cp) cq) cr) cs) ct) cu) cv) cw) cx) cy) cz) da) db) dc) dd) de) df) dg) dh) di) dj) dk) dl) dm) dn) do) dp) dq) dr) ds) dt) du) dv) dw) dx) dy) dz) ea) eb) ec) ed) ee) ef) eg) eh) ei) ej) ek) el) em) en) eo) ep) eq) er) es) et) eu) ev) ew) ex) ey) ez) fa) fb) fc) fd) fe) ff) fg) fh) fi) fj) fk) fl) fm) fn) fo) fp) fq) fr) fs) ft) fu) fv) fw) fx) fy) fz) ga) gb) gc) gd) ge) gf) gg) gh) gi) gj) gk) gl) gm) gn) go) gp) gq) gr) gs) gt) gu) gv) gw) gx) gy) gz) ha) hb) hc) hd) he) hf) hg) hh) hi) hj) hk) hl) hm) hn) ho) hp) hq) hr) hs) ht) hu) hv) hw) hx) hy) hz) ia) ib) ic) id) ie) if) ig) ih) ii) ij) ik) il) im) in) io) ip) iq) ir) is) it) iu) iv) iw) ix) iy) iz) ja) jb) jc) jd) je) jf) jg) jh) ji) jj) jk) jl) jm) jn) jo) jp) jq) jr) js) jt) ju) jv) jw) jx) jy) jz) ka) kb) kc) kd) ke) kf) kg) kh) ki) kj) kk) kl) km) kn) ko) kp) kq) kr) ks) kt) ku) kv) kw) kx) ky) kz) la) lb) lc) ld) le) lf) lg) lh) li) lj) lk) ll) lm) ln) lo) lp) lq) lr) ls) lt) lu) lv) lw) lx) ly) lz) ma) mb) mc) md) me) mf) mg) mh) mi) mj) mk) ml) mm) mn) mo) mp) mq) mr) ms) mt) mu) mv) mw) mx) my) mz) na) nb) nc) nd) ne) nf) ng) nh) ni) nj) nk) nl) nm) nn) no) np) nq) nr) ns) nt) nu) nv) nw) nx) ny) nz) oa) ob) oc) od) oe) of) og) oh) oi) oj) ok) ol) om) on) oo) op) oq) or) os) ot) ou) ov) ow) ox) oy) oz) pa) pb) pc) pd) pe) pf) pg) ph) pi) pj) pk) pl) pm) pn) po) pp) pq) pr) ps) pt) pu) pv) pw) px) py) pz) qa) qb) qc) qd) qe) qf) qg) qh) qi) qj) qk) ql) qm) qn) qo) qp) qq) qr) qs) qt) qu) qv) qw) qx) qy) qz) ra) rb) rc) rd) re) rf) rg) rh) ri) rj) rk) rl) rm) rn) ro) rp) rq) rr) rs) rt) ru) rv) rw) rx) ry) rz) sa) sb) sc) sd) se) sf) sg) sh) si) sj) sk) sl) sm) sn) so) sp) sq) sr) ss) st) su) sv) sw) sx) sy) sz) ta) tb) tc) td) te) tf) tg) th) ti) tj) tk) tl) tm) tn) to) tp) tq) tr) ts) tt) tu) tv) tw) tx) ty) tz) ua) ub) uc) ud) ue) uf) ug) uh) ui) uj) uk) ul) um) un) uo) up) uq) ur) us) ut) uu) uv) uw) ux) uy) uz) va) vb) vc) vd) ve) vf) vg) vh) vi) vj) vk) vl) vm) vn) vo) vp) vq) vr) vs) vt) vu) vv) vw) vx) vy) vz) wa) wb) wc) wd) we) wf) wg) wh) wi) wj) wk) wl) wm) wn) wo) wp) wq) wr) ws) wt) wu) wv) ww) wx) wy) wz) xa) xb) xc) xd) xe) xf) xg) xh) xi) xj) xk) xl) xm) xn) xo) xp) xq) xr) xs) xt) xu) xv) xw) xx) xy) xz) ya) yb) yc) yd) ye) yf) yg) yh) yi) yj) yk) yl) ym) yn) yo) yp) yq) yr) ys) yt) yu) yv) yw) yx) yy) yz) za) zb) zc) zd) ze) zf) zg) zh) zi) zj) zk) zl) zm) zn) zo) zp) zq) zr) zs) zt) zu) zv) zw) zx) zy) zz)

V. CONCLUSION

of the field
 at the
 position
 of the
 source
 and the
 receiver
 is given by
 the
 following
 expression
 for the
 field
 at the
 position
 of the
 source
 and the
 receiver
 is given by
 the
 following
 expression

$$U_p (U_p \text{ is the } U)$$

the
 field
 at the
 position
 of the
 source
 and the
 receiver
 is given by
 the
 following
 expression
 for the
 field
 at the
 position
 of the
 source
 and the
 receiver
 is given by
 the
 following
 expression

$S]$ is the

$$\partial p_s(t)/\partial r_s(t_{0,s})$$

$$C(t_{0,s})$$

2.

the
 field
 at the
 position
 of the
 source
 and the
 receiver
 is given by
 the
 following
 expression
 for the
 field
 at the
 position
 of the
 source
 and the
 receiver
 is given by
 the
 following
 expression

$$\sqrt{2\pi i / (\partial^2 S(\vec{p}_s, \vec{r}_s, t_{0,s}, t) / \partial t_{0,s}^2)}$$

$$\langle \vec{p}_s(t_{0,s}) + \vec{A}(t_{0,s}) | \hat{H}_I(t_{0,s}) | \psi_0 \rangle$$

$$C(t_{0,s})$$

$0, s$ is the

the
 field
 at the
 position
 of the
 source
 and the
 receiver
 is given by
 the
 following
 expression
 for the
 field
 at the
 position
 of the
 source
 and the
 receiver
 is given by
 the
 following
 expression

2. is the

p is the

2.

the
 field
 at the
 position
 of the
 source
 and the
 receiver
 is given by
 the
 following
 expression
 for the
 field
 at the
 position
 of the
 source
 and the
 receiver
 is given by
 the
 following
 expression
 for the
 field
 at the
 position
 of the
 source
 and the
 receiver
 is given by
 the
 following
 expression
 for the
 field
 at the
 position
 of the
 source
 and the
 receiver
 is given by
 the
 following
 expression
 for the
 field
 at the
 position
 of the
 source
 and the
 receiver
 is given by
 the
 following
 expression

ACKNOWLEDGMENTS

the
 field
 at the
 position
 of the
 source
 and the
 receiver
 is given by
 the
 following
 expression
 for the
 field
 at the
 position
 of the
 source
 and the
 receiver
 is given by
 the
 following
 expression

APPENDIX

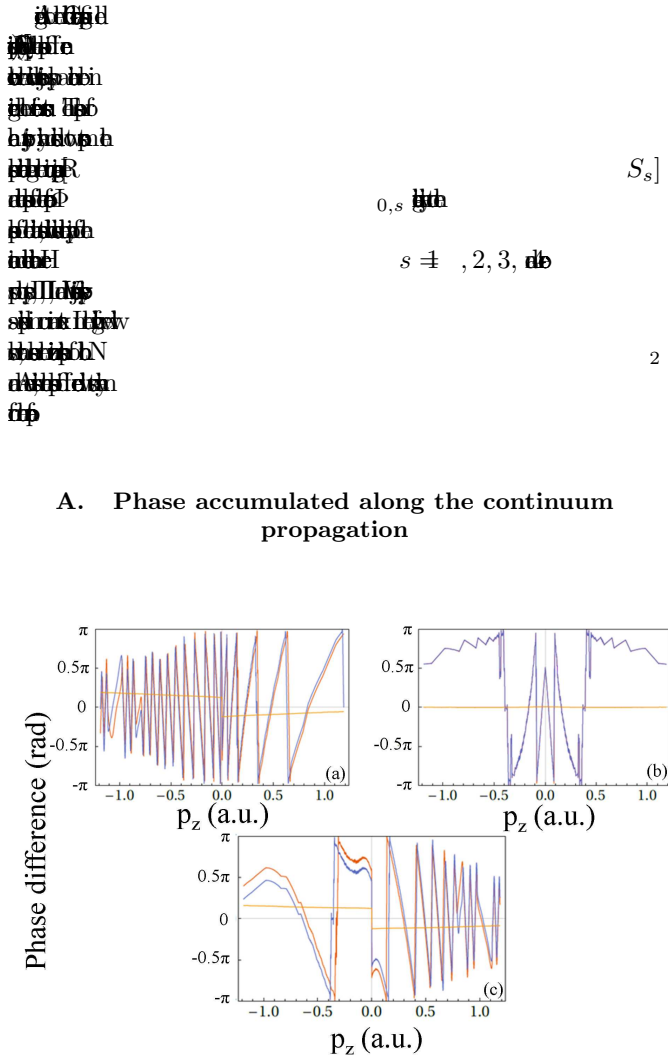


FIG. 4. Calculations for difference between $\text{Re}[S_s]$ for type-II and type-I trajectories (a), between type-III and type-II trajectories (b), and between type-III and type-IV trajectories (c). The red and blue lines represent the results for Ar and N_2 , respectively. The orange line in each panel represents the difference between the result of Ar and that of N_2 . The abscissa p_z is the final electron momentum along the laser polarization. The final electron momentum perpendicular to the laser polarization p_\perp is 0.1 a.u. here. We have found similar features for other values of p_\perp . The alignment of N_2 is along the laser polarization axis.

Ar N_2 Ar - N_2 $\Delta\Phi$ (rad)

(a1) (b1) (c1)

(a2) (b2) (c2)

(a3) (b3) (c3)

B. Phase of the prefactor

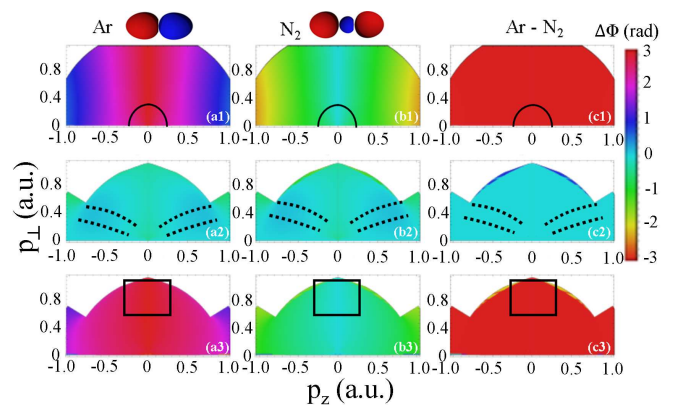


FIG. 5. Calculated diagrams of the difference between $\Phi_{0,s}$ for type-II and type-I trajectories (the first row), between type-III and type-II trajectories (the second row), and between type-III and type-IV trajectories (the third row). The first and second columns show the results for Ar and N_2 , respectively. The differences between the phase diagrams of Ar and N_2 are shown in the third column. The abscissa p_z and ordinate p_\perp are the final electron momentum components. The half circles, dotted lines, and rectangles mark the regions where the fan-shaped, spider- and carpet-like structures appear, respectively. The illustrations of 3p orbital for Ar and the highest-occupied molecular orbital (HOMO) of N_2 are shown on the top. The alignment of N_2 is along the laser polarization axis here.

Ar N_2 Ar - N_2 $\Delta\Phi$ (rad)

(a1) (b1) (c1)

(a2) (b2) (c2)

(a3) (b3) (c3)

g^2
 g^2
 g^2
 $a \pi$
 $a \pi$
 g^2
 g^2
 g^2
 g^2

2. 4

g^2
 g^2
 g^2
 g^2
 g^2
 g^2
 g^2
 g^2
 g^2
 g^2
 g^2

- [1] T. D. Lee and C. N. Yang, Phys. Rev. **104**, 254 (1956).
- [2] R. R. Freeman, P. H. Bucksbaum, H. Milchberg, S. Darack, D. Schumacher, and M. E. Geusic, Phys. Rev. Lett. **59**, 1092 (1987).
- [3] J. Muth-Böhm, A. Becker, and F. H. M. Faisal, Phys. Rev. Lett. **85**, 2280 (2000).
- [4] M. Meckel, D. Comtois, D. Zeidler, A. Staudte, D. Pavičić, H. C. Bandulet, H. Pépin, J. C. Kieffer, R. Dörner, D. M. Villeneuve, and P. B. Corkum, Science **320**, 1478 (2008).
- [5] M. Meckel, A. Staudte, S. Patchkovskii, D. M. Villeneuve, P. B. Corkum, R. Dörner, and M. Spanner, Nat. Phys. **10**, 594 (2014).
- [6] M. M. Liu, M. Li, C. Wu, Q. Gong, A. Staudte, and Y. Liu, Phys. Rev. Lett. **116**, 163004 (2016).
- [7] M. Kunitski, N. Eicke, P. Huber, J. Khler, S. Zeller, J. Voigtsberger, N. Schlott, K. Henrichs, H. Sann, F. Trinter, L. Ph.H. Schmidt, A. Kalinin, M. S. Schöffler, T. Jahnke, M. Lein, R. Dörner Nat. Commun. **10** 1 (2019).
- [8] X. Xie, S. Roither, D. Kartashov, E. Persson, D. G. Arbó, L. Zhang, S. Gräfe, M. S. Schöffler, J. Burgdörfer, A. Baltuška, and M. Kitzler, Phys. Rev. Lett. **108**, 193004 (2012).
- [9] Ph. A. Korneev, S. V. Popruzhenko, S. P. Goreslavski, T.-M. Yan, D. Bauer, W. Becker, M. Kübel, M. F. Kling, C. Rödel, M. Wünsche, and G. G. Paulus, Phys. Rev. Lett. **108**, 223601 (2012).
- [10] X. Y. Lai, C. Poli, H. Schomerus, and C. Figueira de Morisson Faria, Phys. Rev. A **92**, 043407 (2015).
- [11] A. S. Maxwell, A. Al-Jawahiry, T. Das, and C. Figueira de Morisson Faria, Phys. Rev. A **96**, 023420 (2017).
- [12] A. S. Maxwell and C. Figueira de Morisson Faria, J. Phys. B **51**, 124001 (2018).
- [13] Y. Huismans *et al.*, Science **331**, 61 (2011).
- [14] C. Figueira de Morisson Faria and A. S. Maxwell, Rep. Prog. Phys. **83**, 034401 (2020).
- [15] P. B. Corkum, Phys. Rev. Lett. **71**, 1994 (1993).
- [16] Y. Zhou, O. I. Tolstikhin, and T. Morishita, Phys. Rev. Lett. **116**, 173001 (2016).
- [17] M. He, Y. Li, Y. Zhou, M. Li, W. Cao, and P. Lu, Phys. Rev. Lett. **120**, 133204 (2018).
- [18] S. Walt, N. Ram, M. Atala, N. Shvetsov-Shilovski, A. von Conta, D. Baykusheva, M. Lein, and H. Wörner, Nat. Commun. **8**, 15651 (2017).
- [19] A. Rudenko *et al.*, J. Phys. B **37**, L407 (2004).
- [20] C. M. Maharjan *et al.*, J. Phys. B **39**, 1955 (2006).
- [21] T. Marchenko, H. G. Muller, K. J. Schafer and M. J. J. Vrakking, J. Phys. B **43**, 095601 (2010).
- [22] D. G. Arbó, S. Yoshida, E. Persson, K. I. Dimitriou, and J. Burgdörfer, Phys. Rev. Lett. **96**, 143003 (2006).
- [23] Z. Chen, Toru Morishita, Anh-Thu Le, M. Wickenhauser, X. M. Tong, and C. D. Lin, Phys. Rev. A **74**, 053405 (2006).
- [24] D. G. Arbó, Konstantinos I. Dimitriou, Emil Persson, and Joachim Burgdörfer, Phys. Rev. A **78**, 013406 (2008).
- [25] Tian-Min Yan, S. V. Popruzhenko, M. J. J. Vrakking, and D. Bauer, Phys. Rev. Lett. **105**, 253002 (2010).
- [26] A. S. Maxwell, A. Al-Jawahiry, T. Das, and C. F. Faria, Phys. Rev. A **96**, 023420 (2017).
- [27] Y. Deng, Y. Liu, X. Liu, H. Liu, Y. Yang, C. Wu, and Q. Gong, Phys. Rev. A **84**, 065405 (2011).
- [28] X. Y. Lai, S. G. Yu, Y. Y. Huang, L. Q. Hua, C. Gong, W. Quan, C. F. Faria, and X. J. Liu, Phys. Rev. A **96**, 013414 (2017).
- [29] A. S. Maxwell, A. Al-Jawahiry, X. Y. Lai, and C. Figueira de Morisson Faria, J. Phys. B **51**, 044004 (2018).
- [30] J. Ullrich, R. Moshhammer, A. Dorn, R. Dörner, L.P.H. Schmidt, and H. Schmidt-Böcking, Rep. Prog. Phys. **66**, 1463 (2003).
- [31] A.S. Alnaser, X.M. Tong, T. Osipov, S. Voss, C.M. Maharjan, B. Shan, Z. Chang, and C.L. Cocke, Phys. Rev. A **70**, 023413 (2004).
- [32] O. Jagutzki, A. Cerezo, A. Czasch, R. Dörner, M. Hattas, M. Huang, V. Mergel, U. Spillmann, K. Ullmann-Pfleger, T. Weber, H. Schmidt-Böcking, and G. D. W. Smith, IEEE T Nucl. Sci., **49**, 2477 (2002).
- [33] X. B. Bian, Y. Huismans, O. Smirnova, K. J. Yuan, M. J. J. Vrakking, and A. D. Bandrauk, Phys. Rev. A **84**, 043420 (2011).
- [34] X. B. Bian and A. D. Bandrauk, Phys. Rev. A **89**, 033423 (2014).
- [35] X. M. Tong and C. D. Lin, J. Phys. B **38**, 2593 (2005).
- [36] V. I. Usachenko and Shih-I. Chu, Phys. Rev. A **71**, 063410 (2005).
- [37] H. Kleinert, *Path integrals in quantum mechanics, statistics, polymer physics, and financial markets*, (World Scientific, 2009).
- [38] D. B. Milošević, J. Math. Phys. **54**, 042101(2013).
- [39] R. Kopold, W. Becker, and M. Kleber, Opt. Commun. **179**, 39 (2000).
- [40] C. Figueira de Morisson Faria, H. Schomerus, and W. Becker, Phys. Rev. A **66**, 043413 (2002).
- [41] S. V. Popruzhenko and D. Bauer, J. Mod. Opt. **55**, 2573 (2008).
- [42] S. V. Popruzhenko, J. Phys. B **47**, 204001 (2014).
- [43] A. S. Maxwell, S. V. Popruzhenko, and C. Figueira de Morisson Faria, Phys. Rev. A **98**, 063423 (2018).

- [44] M. W. Schmidt *et al.*, *J. Comput. Chem.* **14**, 1347 (1993).
- [45] A. S. Maxwell, X.-Y. Lai, R. Sun, X. Liu and C. Figueira de Morisson Faria, arXiv:2003.02239 [atom-ph]
- [46] H. Akagi, T. Otobe, A. Staudte, A. Shiner, F. Turner, R. Drner, D.M. Villeneuve, and P. B. Corkum, *Science* **325**, 1364 (2009).
- [47] J. Itatani, J. Levesque, D. Zeidler, H. Niikura, H. Pépin, J. C. Kieffer, P. B. Corkum, and D. M. Villeneuve, *Nature (London)* **432**, 867 (2004).
- [48] O. Smirnova and M. Y. Ivanov, in *Attosecond and XUV Spectroscopy: Ultrafast Dynamics and Spectroscopy*, edited by T. Schultz and M. J. J. Vrakking (Wiley, New York, 2014), pp. 201256.
- [49] H. Kang, W. Quan, Y. Wang, Z. Lin, M. Wu, H. Liu, X. Liu, B. B. Wang, H. J. Liu, Y. Q. Gu, X. Y. Jia, J. Liu, J. Chen, and Y. Cheng, *Phys. Rev. Lett.* **104**, 203001 (2010).
- [50] B. B. Augstein and C. Figueira de Morisson Faria, *J. Phys. B* **44**, 055601 (2011)